

〔論 文〕

クルマの空気力学と省エネ(2)

井手 靖雄・藤井 修・龍 英夫・池田 秀*

Vehicle Aerodynamics for Energy Conservation (2)

Yasuo IDE, Osamu FUJII, Hideo RYUU and Shigeru IKEDA

Abstract:

Energy conservation and fuel savings in automobiles needs to be emphasized in order to reduce global warming. The relationship between aerodynamic resistance, R_A , and fuel consumption, f_c , is required to study fuel savings. Due to the reduction in R_A , our distribution model has produced the approximation, $\alpha_t = K_A \alpha_A$. The key parameter, K_A , is reviewed in this paper, and K_t and K_A are estimated and compared for the assumed car specifications and engine fuel map so that our model might be of practical use.

Keywords: automobile, energy conservation, fuel savings, aerodynamic resistance.

1. はじめに

エネルギー資源の乏しい日本にとって省資源、省エネは最重要課題の1つであり、運輸部門では省エネのクルマの設計製作、省エネ整備運転が必要とされている。高速道路網の整備につれて高速走行の機会が多くなっているので、平坦道路での高速走行(定速の走行速度 v)の省エネ、省燃費について考える。

このため空力屋とドライバーの視点より、空気力学の役割としての空力抵抗 R_A の増減と燃料消費(燃費 f_c)との関係($R_A - R - f_c$)を見出すことを研究目標(寄与率モデル構築)として、先に中間報告を行い、次の結果を得ている¹⁾(4. むすびより引用)。

- ① 走行抵抗 R での R_A の割合(空力寄与率 F_A)は速度比(v/V_A)のみの関数となる。
- ② 省エネ検討のための簡単な「寄与率モデル」の近似式($\alpha_t = K_A \alpha_A$)を求めた。小型車、大型車の省エネ特性はそれぞれの空力速度 V_A で代表、近似出来そうである。
- ③ 応用例として逆風時の運転(空力速度は小型車60

km/h、大型車76km/h)を、省エネ運転の『悪例』(和風で20%以上、疾風で40%程度の燃費悪化)として示した。

今後の課題として省燃費率を支配する「燃費寄与率 K_t 」の詳細調査が必要である。

上記の結果中、特に②の寄与率モデルの構築は本研究目標であり、改めてまとめると次の関係式となる。

$$\alpha_t = K_A \alpha_A \quad (1.1)$$

$$K_A = K_t F_A \quad (1.2)$$

ここに

$$\alpha_t = \Delta f_c / f_c \quad (\text{省燃費率})$$

$$\alpha_A = \Delta R_A / R_A \quad (\text{空力抵抗減率})$$

$$K_t = \alpha_t / \alpha_A \quad (\text{燃費寄与率})$$

$$F_A = R_A / R \quad (\text{空力寄与率})$$

$$\alpha_i = \Delta R_A / R \quad (\text{省エネ率}) \quad (1.3)$$

そこで、今回は寄与率モデルのキーパラメーターである K_A の現状調査を2にて、今後の課題とした K_t (σ_A を30%変化の第1次近似)と K_A の推定の結果を3にて報告する。なお前回は、 K_A を空力(感度)係数と呼んだが、 K_A

* 交通機械工学科

平成18年4月26日受理

は、空力抵抗の減率 α_A が省燃費率 α_f に及ぼす感度を示しているので、「空力燃費係数」に変更する。

この種の寄与率モデルに関する研究報告は、著者らが調査した限りでは国内外どこにも見当たらない²⁻⁶⁾。

2. 空力抵抗低減と省燃費率の関係

K_A に関する既往の研究報告はそれほど多くなく、 α_A に対する α_f を求めて K_A は算出されるので、少しでも α_f に関する報告を集めて、車種別に表1に年代順にまとめた。

- (1) 日本自動車研究所 (JARI), 細井 (1980) の報告: この分野の先駆け的研究であり、距離燃費 f_E の感度係数 S_A ($=f_E$ の変化率/ α_A) を図4.2 (100km/h) より読み取り (本人へ依頼), $K_A = -S_A$ (小さい α_A) とした⁷⁾。最多の12車種の乗用車Gの結果である。
- (2) Hucho ら (1998) より: それぞれの省燃費の引用図 (α_f と α_A の線形関係図) より、傾きを読み取り K_A を算出した⁸⁾。
- (3) トヨタ, 炭谷ら (2004) より: 論文中の記述「空気抵抗10%改善により燃費は4%～5%改善される」より算出した⁹⁾。
- (4) ホンダ, 今安 (2004) より: 今安は並々ならぬ努力

の末、インサイトの開発段階で33%の空力低減を達成しており、論文中の記述「 C_D の33%低減で、燃費への効果は約13%である」より算出した¹⁰⁾。

- (5) ダイハツ, 内田・坂口 (2004) より: 論文中の記述「空気抵抗を10%低減しただけで、燃費を5～7%前後も改善できる」より算出した¹¹⁾。
- (6) 本報告の最終に示すべき本研究結果 (表6) を予め記す。

表1より、 K_A は車種などによって結構分散はしているものの、 $K_A=0.3\sim1.0$ の範囲にあることが分かる。 $K_A>0.7$ は、(1) JARI だけであり、走行負荷低減(過濃混合気から通常混合気への変化)の当時のクルマが含まれているからである。この範囲を除くと、 $K_A=0.3\sim0.7$ であり、クルマの多様性(多種多メーカー)の割には、その変化幅は少ないと見える。

一方、定速走行ではないが加速・減速・アイドリングのモードを含んだ走行サイクル (driving cycle) 決めて、類似の K_A を求める研究報告(この場合の K_A は、記号 ε で表示されており、effectiveness(燃費効果)とかinfluence coefficient(影響係数)とか呼ばれている)がある。この中より本目的に最も近い高速走行サイクル(始

表1 空力燃費係数 K_A (定速モード) の調査結果

車種	空力燃費係数 K_A	走行速度 km/h	原論文の引用図	備考
(1) 小型車の12車種G	0.33～1.03 平均0.55	100	図4.2	JARI細井 (1980) より感度係数 S_A を読み取り, $K_A = -S_A$ (小さい α_A) とした。
(2-1) セミトレーラ	0.34	80	Fig. 9.6	(2) は全て Hucho ら (1998) より算出。 40 t /280kW
(2-2) バス	0.30 0.43	80 100	Fig. 9.7	
(2-3) ライトバン	0.48	100	Fig. 9.8	2.8 t /58kW
(2-4) 軽トラック	G 0.6 D 0.7	100 100	Fig. 3.25	最大質量2600kg, 60kW G : 2.1, D : 2.4.1
(3) 小型車 平均的乗用車な	0.4～0.5	100		トヨタ炭谷ら (2004) より算出。 $V_A=60\text{km/h}$
(4) 小型車 インサイト	0.39	70～80		ホンダ今安 (2004) より算出、高速巡航走行
(5) 軽自動車 UFE-II	0.5～0.7	100		ダイハツ内田・坂口 (2004) より算出。 $V_A=50\text{km/h}$
(6) 本研究 小型車 (G) 大型車 (D)	0.44 0.42	100 80		$(K_A=K_f F_A)$ $K_f=0.599, F_A=0.732$ $K_f=0.806, F_A=0.525$

注) G ; ガソリン, D ; 軽油ディーゼル, V_A ; 空気速度 (転がり抵抗と空力抵抗が等しくなる車速)

表2 高速走行の drive cycle の effectiveness (ϵ_{H})

車種	Effectiveness ϵ_{H}	走行速度 km/h	原論文の 引用図	備考
(1) 小型車	0.45~0.63	約88	Fig. 3.17	Sovran (1983) の推定法。 EPA-Highway モード
(2) 小型車 29車種, (一部ディーゼル車)	0.41(平均) 0.29~0.59	約77	表1	米国 HFET モード, JARI 細井ら (1984), 計測データより感度係数として計算
(3) 重量ディーゼル車	0.34~0.4	約75	図1	JARI 高速モード。赤井ら (1998), 台上試験結果
(4) 重量ディーゼル車	0.35~0.39	約75	Fig. 5	JARI 高速モード, 鈴木ら (2003), シミュレーション
(5) 4 t 貨物車	0.42	約70	図14	交安環研 HW1 モード, 野田ら (2004) シミュレーション

めと終わりに加速モードと減速モードがある)の ϵ (この場合 ϵ_{H} で表示する。一般に $\epsilon < \epsilon_{\text{H}}$) を参考として表2にまとめた。

- (1) Highway Cycle (米国 EPA の高速モードで平均走行速度は約90km/h) についての Sovran の ϵ_{H} 推定法の結果¹²⁾ (表3の小型車の性能を使用)。
- (2) 細井ら (1984) はモード運転時の燃料消費率の推定法を開発し、高速モード HFET (82.8km/h) の感度係数 (表1) を29車種について、平均0.408 (最大0.591, 最小0.285) と求めており、これを ϵ_{H} とした。
- (3) JARI 高速モードでの赤井ら (1998) の計測データ¹⁴⁾ (JARI論文の図1より、「燃費に対する走行抵抗の感度係数」を読み取り、逆符号の ϵ_{H} とした)。
- (4) 鈴木ら (2003) のシミュレーション結果¹⁵⁾ (Fig. 5 より読み取る) より ϵ_{H} を求めた。
- (5) 交通安全環境研究所 HW1 モード (首都高速 約70 km/h) での燃費シミュレーション (野田ら (2004) の Fig. 27 (C_d と f_e の関係)) より ϵ_{H} 推定した結果¹⁶⁾

ϵ_{H} は0.29~0.63の範囲に分散しており、ほぼ K_A の範囲 ($K_A=0.3\sim0.7$) に等しいことが分かる。高速走行の drive cycle では定速モードが支配的なので、 $\epsilon_{\text{H}} \approx K_A$ となる由縁である。

以上の表1, 2 より、 K_A については、 $K_A=0.3\sim0.7$ の範囲であり、暫定的には、小型車約0.5, 大型車は約0.4程度と見なせることが分かる。しかし目安であり今後ともに更なるデータ収集と詳細検討が必要である。

3. 燃費寄与率 K_f と K_A の推定

次にクルマの駆動力 D の発生側より、変速機の変速条件 (伝達効率 η , 変速比 i) は一定として、燃費マップより K_f を求める。公表された燃費マップは極めて少なく、ここでは塩路の報告¹⁷⁾ (論文中の図2) を総排気量1.8 l (ガソリン機関), 13 l (ディーゼル機関) として適用 (燃費マップを図1に再掲) する。走行抵抗 R (単位 N=kJ/km) を平均有効圧力 p_e に読み替えて、比である $\alpha_1 (= \Delta R_A/R = \Delta p_e/p_e)$ は同じである。走行速度 v での走行抵抗 R (= 転がり抵抗 + R_A) と p_e およびエンジン回転数 Ne の関係は次式 (記号は表3参照) で与えられる^{2,4)}。

$$p_e = 4\pi R r_t / V_e i_n i_t \eta \quad (3.1)$$

$$N_e = (30/\pi) v i_n i_t / r_t \quad (3.2)$$

表3に今回想定した小型車 (ガソリン) と大型車 (ディーゼル) の仕様を示す。本仕様による K_f および K_A の推定結果を表6にまとめた。なお今回 (第1次近似) の K_f は、 $\alpha_1=0.3$ (①抵抗減少前, ②減少後) を与値の時の bsfc (①と②) を燃費マップより読み取り、 α_f を出して求めた (表4, 表5)。この場合の α_f は f_c に比例する $bsfc \times p_e$ の①と②より算出している。

小型車と大型車の走行速度は異なるものの、 p_e はほぼ等しく (大型車がやや大きい), K_f は大型車の方が大きくなっている (熱効率が良いディーゼル機関)。しかし K_A では F_A の影響によりほぼ等しくなっていることが分かる。これより K_A の数値だけでなく、その意味についての知見を得ることの必要性が分かる。本結果を表1の最下段(6)に併記した。

これより本結果は既存の K_A と概ね整合しており、提

案した寄与率モデルの有用性が伺える¹⁸⁾。

なお今回の結果は表3の仕様と塩路の燃費マップ図1に基づくものであり、汎用性については今後の課題である。

また前報告にて暫定的に $K_f = 0.7$ を採用したが、今回の小型車 ($K_f = 0.6$) と大型車 ($K_f = 0.81$) の中間値に相当していたことが今回分かった。

表3 採用した小型車と大型車の仕様〔想定値〕

	クルマ分類k		備 考
	小型 s	大型 t	
質量 m (kg)	1400	17000	
空力抵抗係数 C_d	0.35	0.7	空気密度 (1.2kg/m ³)
前面投影面積 A (m ²)	2.31	7.11	土木研究所報告
転がり抵抗係数 μ_r	0.01	0.008	自動車研究所報告
空力速度 (km/h)	60.5	76.1	
総排気量 V _e (l)	1.8	13.0	以下想定値
タイヤ有効半径 r _t (m)	0.3	0.5	
変速機 top 変速比 i _n	0.77	1.0	
終減速比 i _f	4.0	3.78	
伝達効率 η_t	0.95	0.95	

表4 小型車（ガソリン機関）の K_f 算出 (Ne=2700rpm)

	平均有効圧力 pe (MPa)	bsfc (g/kWh)	bsfc × pe (gMPa/kWh)
①空力減少前	0.367	350	128.5
②減少後	0.257	410	105.4
①→②の変化率	$\alpha_1 = 0.3$		$\alpha_f = 0.180$
$K_f = \alpha_f / \alpha_1$			$K_f = 0.599$

表5 大型車（ディーゼル機関）の K_f 算出 (Ne=1600rpm)

	平均有効圧力 pe (MPa)	bsfc (g/kWh)	bsfc × pe (gMPa/kWh)
①空力減少前	0.378	245	92.6
②減少後	0.265	265	70.2
①→②の変化率	$\alpha_1 = 0.3$		$\alpha_f = 0.242$
$K_f = \alpha_f / \alpha_1$			$K_f = 0.805$

表6 走行条件と空力燃費係数ほか

	クルマ分類k		備 考
	小型 s	大型 t	
走行速度 v (km/h)	100	80	
エンジン回転数 Ne (RPM)	2723	1604	(3.1) 式
走行抵抗 R (N)	511.5	2808	= 転がり抵抗 + R _A
平均有効圧力 pe (MPa)	0.367	0.378	(3.2) 式
燃費寄与率 K _f	0.60	0.81	表4, 表5より
空力寄与率 F _A	0.732	0.525	前報告の(2.7)式
空力燃費係数 K _A	0.44	0.42	(1.2) 式

4. むすび

平坦な高速道路を定速走行するクルマの省燃費の寄与率モデルを吟味するために、小型車、大型車の仕様および塩路の燃費マップ（図1）を想定し、空力燃費係数 K_A を求め、下記の結果を得た。

- 1) 省燃費検討に必要となる K_A を求める寄与率モデル（第1次近似）の有用性の見通しを得た。
- 2) 今回想定したクルマ仕様（燃費マップ）では、小型車大型車はほぼ同じ K_A （=約0.4）となったが、その中味（燃費寄与率 K_f 、空力寄与率 F_A ）は異なる。
- 3) K_A の暫定値としては、小型車約0.5、大型車は約0.4程度である。

引き続き燃費マップの汎用性ほかの吟味と K_A 知見情報の調査（メーカおよび関係機関）進めたく、ご指導ご支援賜れれば幸いである。

謝 辞

クルマの燃費他について有益なご助言、情報を賜った日本自動車研究所の細井賢三先生、本学交通機械工学科の渡邊孝司学科長他の先生方に心より感謝申し上げます。また資料調査に協力してくれた井手研究室卒業研究生一同（17年度）に改めて御礼申し上げます。

引用文献

- 1) 井手、藤井、龍、池田：クルマの空気力学と省エネ、久留米工業大学研究報告、No.28 (2005) 7-13.
- 2) 交通工学会編、交通工学ハンドブック、博報堂、(1998).
- 3) 小林・農沢、自動車のデザインと空力技術、自動車技術シリーズ 10、朝倉書店、(1998).
- 4) 平尾、自動車の高性能化、山海堂、(2002).
- 5) 小林、奥、鬼頭、自動車の空気力学、日本流体力学会誌、ながれ、21、(2002) 336-345.
- 6) Wolf-Heinrich Hucho et. al., *Aerodynamics of Road Vehicles*, Fourth Edition, SAE, Warrendale, Pa. (SAE, 1998).
- 7) 細井賢三：車両諸元が燃料消費率に及ぼす影響についての一考察、自動車研究、2, 9 (昭55) 315-318.
- 8) Wolf-Heinrich Hucho et. al., *Aerodynamics of Road Vehicles*, SAE, Warrendale, Pa. (1998) 126-127, 418-420.
- 9) 炭谷、前田、一之瀬：自動車と流体力学：車体周り流れと空力特性、日本流体力学会誌「ながれ」、23 (2004) 445-454.
- 10) 今安道治：乗用車の空力技術—省燃費車における空気抵抗低減、自動車技術、57, 4 (2003) 14-18.
- 11) 内田勝也、阪口庸介：コンセプトカー UFE-II の空力意匠開発、自動車技術、58, 6 (2004) 56-61.
- 12) Sovran G., Tractive-Energy-Based Formulae for the Impact of Aerodynamics on Fuel Economy Over the EPA Driving Schedules, SAE Tech. Pa. Series, 830304 (1983).
- 13) 細井、古、小池、安田、燃料消費率に対する車両諸元の感度係数、自動車研究、6, 7 (1984) 20-23.
- 14) 赤井、平井、細井、重量ディーゼル車の燃費推定法の検討、自動車研究、20, 11 (1998) 11-14.
- 15) 鈴木、平井、細井、重量ディーゼル車の燃費シミュレーション、自動車研究、25, 4 (2003) 9-12.
- 16) 野田、佐藤、山本、塙本、自動車燃料消費への影響要因分析に基づく消費抑制対策の効果予測法に関する研究、交通安全環境研究所報告、5, (2004) 9-23.
- 17) 塩路葛宏、各種内燃機関における排ガス浄化技術、自動車技術、52, 9 (1998) 4-10.
- 18) 井手、藤井、龍、池田：クルマの空力抵抗低減と省燃費、日本航空宇宙学会西部支部講演集、(2005) 101-104.

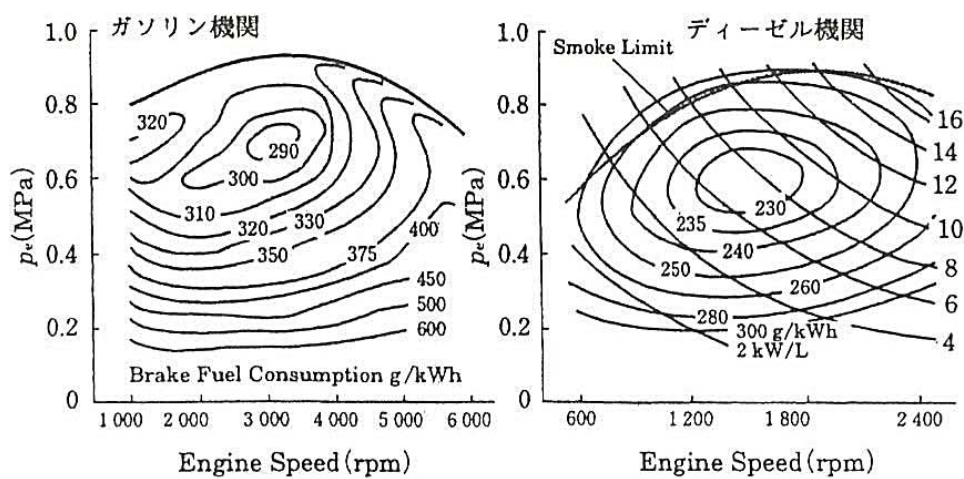


図1 ガソリン機関とディーゼル機関の性能特性（塩路（1998）¹⁷⁾より）